

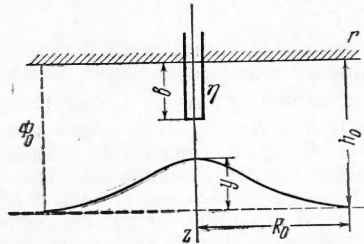
РАСЧЕТ ПРЕДЕЛЬНЫХ БЕЗВОДНЫХ ДЕБИТОВ В АНИЗОТРОПНЫХ ПЛАСТАХ С ОСЕВОЙ СИММЕТРИЕЙ

Ю. И. Стклянин, А. П. Телков

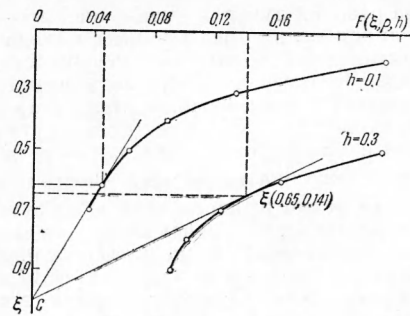
(Москва)

Дается решение задачи о потенциале несовершенной скважины в однородноанизотропном пласте с конечным радиусом контура питания. Полученное решение использовано для расчета предельных безводных дебитов нефти или газа; приведены универсальные графики зависимостей безразмерных дебитов  $q$  от относительного вскрытия пласта  $h$  для различных  $\rho$ .

§ 1. Потенциал несовершенной скважины. Рассмотрим приток к несовершенной скважине в круговом пласте (фиг. 1). Пусть  $R_0$  — радиус контура питания,  $h_0$  — мощность пласта,  $k$  — проницаемость вдоль напластования,  $k_z$  — проницаемость по вертикали,  $\mu$  — вязкость вытесняемой жидкости. Жидкость считаем несжимаемой, фильтрацию — подчиняющейся закону Дарси.



Фиг. 1



Фиг. 2

Сначала определим потенциал  $\varphi = -(k/\mu) p$  точечного стока с координатами  $r = 0$ ,  $z = \eta$ ;  $p$  — давление в жидкости. Как известно [1, 2], потенциал в области, содержащей источник или стока, удовлетворяет уравнению Пуассона

$$\frac{\partial^2 \varphi}{\partial r^2} + \frac{1}{r} \frac{\partial \varphi}{\partial r} + \frac{\partial^2 \varphi}{\partial z^2} = q \frac{\delta(r)}{2\pi r} \delta(z - \eta) \quad \left( \kappa = \sqrt{\frac{k}{k_z}} \right) \quad (1.1)$$

где  $\kappa$  — характеристика анизотропии,  $q$  — мощность точечного стока,  $\delta(r)$  и  $\delta(z - \eta)$  — функции Дирака [1, 2].

Будем считать кровлю и подошву непроницаемыми, т. е.

$$\partial \varphi / \partial z = 0 \quad \text{при } z = 0, z = h_0 \quad (1.2)$$

На контуре питания  $r = R_0$  для простоты примем

$$\varphi(R_0, z) = 0 \quad (1.3)$$

Задачу будем решать методом интегральных преобразований [1]. Применим преобразование Ханкеля с конечными пределами к соотношениям (1.1)–(1.3) и получим

$$\left( \frac{1}{\kappa^2} \frac{d^2}{dz^2} - \frac{\mu_i^2}{R_0^2} \right) \varphi^\circ = \frac{q}{2\pi} \delta(z - \eta) \quad (1.4)$$

$$d\varphi^\circ / dz = 0 \quad \text{при } z = 0, z = h_0 \quad (1.5)$$

$$\left( \varphi^\circ(z, \mu_i) = \int_0^{R_0} \varphi(z, r) J_0\left(\frac{r}{R_0} \mu_i\right) r dr \right)$$

Здесь  $J_0(\mu_i r / R_0)$  — функция Бесселя первого рода нулевого порядка,  $\mu_i$  — положительный корень уравнения  $J_0(\mu_i) = 0$  [3, стр. 298].

К (1.4) и (1.5) применим косинус — преобразование Фурье с конечными пределами [1, 4] и получим

$$\varphi^{\circ\circ}(n, \mu_i) = -\frac{q}{2\pi} \left( \frac{n^2 \pi^2}{h_0^2 \kappa^2} + \frac{\mu_i^2}{R_0^2} \right)^{-1} \cos \frac{n\pi \eta}{h_0} \quad (1.6)$$

Здесь

$$\Phi^n(n, \mu_i) = \int_0^{h_0} \Phi^n(z, \mu_i) \cos \frac{n\pi z}{h_0} dz \quad (n = 0, 1, 2, \dots)$$

По найденной двойной трансформанте (1.6), применяя дважды формулу обращения [1, 4], получим

$$\Phi_1(z, r)_{x < \eta} = - \frac{q\kappa}{\pi k_0} \sum_{i=1}^{\infty} \frac{\text{ch } \mu_i \kappa \frac{(h_0 - \eta)}{R_0} \text{ch } \mu_i \frac{z}{R_0} \kappa J_0\left(\frac{r}{R_0} \mu_i\right)}{\mu_i \text{sh } \mu_i \kappa \frac{h_0}{R_0}} \frac{J_1^2(\mu_i)}{J_1^2(\mu_i)} \quad (1.7)$$

$$\Phi_2(z, r)_{z > \eta} = - \frac{q\kappa}{\pi R_0} \sum_{i=1}^{\infty} \frac{\text{ch } \mu_i \kappa \frac{(h_0 - z)}{R_0} \text{ch } \mu_i \kappa \frac{\eta}{R_0} J_0\left(\frac{r}{R_0} \mu_i\right)}{\mu_i \text{sh } \mu_i \kappa \frac{h_0}{R_0}} \frac{J_1^2(\mu_i)}{J_1^2(\mu_i)} \quad (1.8)$$

где  $J_1(\mu_i)$  — функция Бесселя первого рода, первого порядка.

Таблица 1

| h   | ρ   | ξ <sub>0</sub> | F     | q     | ρ   | ξ <sub>0</sub> | F      | q      | ρ    | ξ <sub>0</sub> | F                    | q                    |
|-----|-----|----------------|-------|-------|-----|----------------|--------|--------|------|----------------|----------------------|----------------------|
| 0.1 | 4   | 0.430          | 0.153 | 0.186 | 0.7 | 0.670          | 0.026  | 0.635  | 0.2  | 0.800          | 0.0001               | 100.0                |
| 0.3 |     | 0.500          | 0.460 | 0.163 |     | 0.675          | 0.096  | 0.508  |      | 0.880          | 0.0003               | 50.0                 |
| 0.5 |     | 0.600          | 0.780 | 0.128 |     | 0.720          | 0.194  | 0.361  |      | 0.890          | 0.0028               | 8.92                 |
| 0.7 |     | 0.770          | 1.120 | 0.072 |     | 0.800          | 0.410  | 0.171  |      | 0.900          | 0.0330               | 1.06                 |
| 0.8 |     | 0.825          | 1.530 | 0.046 |     | 0.850          | 0.610  | 0.098  |      | 0.910          | 0.1020               | 0.354                |
| 0.1 | 2   | 0.500          | 0.100 | 0.250 | 0.6 | 0.720          | 0.016  | 0.876  | 0.1  | 0.820          | 10 <sup>-8</sup>     | 9·10 <sup>5</sup>    |
| 0.3 |     | 0.530          | 0.320 | 0.220 |     | 0.725          | 0.066  | 0.625  |      | 0.925          | 10 <sup>-7</sup>     | 1.12·10 <sup>5</sup> |
| 0.5 |     | 0.630          | 0.545 | 0.170 |     | 0.750          | 0.150  | 0.416  |      | 0.945          | 10 <sup>-5</sup>     | 1.35·10 <sup>3</sup> |
| 0.7 |     | 0.800          | 0.775 | 0.090 |     | 0.810          | 0.340  | 0.196  |      | 0.950          | 9·10 <sup>-4</sup>   | 19.5                 |
| 0.8 |     | 0.830          | 1.120 | 0.061 |     | 0.856          | 0.525  | 0.110  |      | 0.955          | 10 <sup>-2</sup>     | 1.8                  |
| 0.1 | 1   | 0.600          | 0.050 | 0.400 | 0.5 | 0.740          | 0.008  | 1.625  | 0.08 | 0.860          | 10 <sup>-10</sup>    | 7.5·10 <sup>7</sup>  |
| 0.3 |     | 0.635          | 0.160 | 0.342 |     | 0.760          | 0.028  | 1.288  |      | 0.930          | 10 <sup>-9</sup>     | 1.05·10 <sup>7</sup> |
| 0.5 |     | 0.685          | 0.320 | 0.246 |     | 0.765          | 0.108  | 0.543  |      | 0.950          | 4.6·10 <sup>-7</sup> | 2.72·10 <sup>4</sup> |
| 0.7 |     | 0.800          | 0.540 | 0.136 |     | 0.815          | 0.280  | 0.231  |      | 0.955          | 1.7·10 <sup>-4</sup> | 92.6                 |
| 0.8 |     | 0.840          | 0.790 | 0.081 |     | 0.860          | 0.450  | 0.125  |      | 0.960          | 3·10 <sup>-3</sup>   | 5.3                  |
| 0.1 | 0.9 | 0.620          | 0.044 | 0.432 | 0.4 | 0.770          | 0.0040 | 2.880  | 0.05 | 0.900          | 0                    | ∞                    |
| 0.3 |     | 0.650          | 0.141 | 0.363 |     | 0.790          | 0.0175 | 1.800  |      | 0.940          | 0                    | ∞                    |
| 0.5 |     | 0.700          | 0.280 | 0.268 |     | 0.800          | 0.0620 | 0.806  |      | 0.955          | 0                    | ∞                    |
| 0.7 |     | 0.800          | 0.500 | 0.140 |     | 0.835          | 0.1950 | 0.296  |      | 0.960          | 1.5·10 <sup>-6</sup> | 9.34·10 <sup>3</sup> |
| 0.8 |     | 0.850          | 0.720 | 0.083 |     | 0.870          | 0.3500 | 0.149  |      | 0.970          | 1.6·10 <sup>-4</sup> | 75                   |
| 0.1 | 0.8 | 0.650          | 0.034 | 0.515 | 0.3 | 0.780          | 0.0010 | 11.000 | 0.01 | 1              | 0                    | ∞                    |
| 0.3 |     | 0.665          | 0.112 | 0.448 |     | 0.840          | 0.0045 | 5.340  |      | 1              | 0                    | ∞                    |
| 0.5 |     | 0.705          | 0.250 | 0.295 |     | 0.850          | 0.0220 | 1.700  |      | 1              | 0                    | ∞                    |
| 0.7 |     | 0.810          | 0.460 | 0.152 |     | 0.860          | 0.1100 | 0.445  |      | 1              | 0                    | ∞                    |
| 0.8 |     | 0.850          | 0.670 | 0.089 |     | 0.880          | 0.2450 | 0.196  |      | 1              | 0                    | ∞                    |

Таблица 2

| h     | ρ = 1 |      |      |       |       | ρ = 4 |       |       |       |       |
|-------|-------|------|------|-------|-------|-------|-------|-------|-------|-------|
|       | 0.1   | 0.3  | 0.5  | 0.7   | 0.8   | 0.1   | 0.3   | 0.5   | 0.7   | 0.8   |
| [1]   | 0.37  | 0.33 | 0.26 | 0.145 | 0.085 | 0.182 | 0.165 | 0.130 | 0.070 | 0.046 |
| (2.4) | 0.40  | 0.34 | 0.25 | 0.131 | 0.081 | 0.186 | 0.163 | 0.128 | 0.072 | 0.045 |

Найдем потенциал для несовершенной скважины. При этом скважину будем рассматривать как линию стоков (фиг. 1) вдоль оси z от z = 0 до z = b постоянной

мощности  $q$ . Тогда потенциал линии стоков будет

$$\Phi = \int_0^b \varphi(r, z, \eta) d\eta \quad (1.9)$$

Из (1.7)—(1.9) получим

$$\Phi_1 = \frac{q}{2\pi} \ln \frac{r}{R_0} + \frac{q}{\pi} \sum_{i=1}^{\infty} \frac{\operatorname{ch} \mu_i \kappa \frac{z}{R_0} \operatorname{sh} \mu_i \kappa \frac{h_0 - b}{R_0} J_0 \left( \frac{r}{R_0} \mu_i \right)}{\mu_i^2 \operatorname{sh} \mu_i \kappa \frac{h_0}{R_0} J_0^2(\mu_i)} \quad (1.10)$$

$$\Phi_2 = -\frac{q}{\pi} \sum_{i=1}^{\infty} \frac{\operatorname{ch} \mu_i \kappa \frac{h_0 - z}{R_0} \operatorname{sh} \mu_i \kappa \frac{b}{R_0} J_0 \left( \frac{r}{R_0} \mu_i \right)}{\mu_i^2 \operatorname{sh} \mu_i \kappa \frac{h_0}{R_0} J_1^2(\mu_i)} \quad (1.11)$$

Найдем расход, приходящийся через линейный сток

$$Q = \int_0^{h_0} 2\pi R_0 \left( \frac{\partial \Phi}{\partial r} \right)_{r=R_0} dz \quad (1.12)$$

Учитывая (1.10) и (1.11), из (1.12) находим

$$q = Q/b \quad (1.13)$$

§ 2. Расчет предельных безводных дебитов. Будем рассматривать горизонтальный пласт с подошвенной водой (фиг. 1).

Для определения предельных безводных дебитов используем полученное решение (1.11). Вводя безразмерные параметры

$$\rho = \frac{R_0}{\kappa h_0}, \quad \frac{z}{h_0} = \xi, \quad \frac{b}{h_0} = \bar{h} \quad (2.1)$$

и учитывая (1.13) при  $r = 0$ , из (1.11) получим распределение потенциала на оси скважины

$$\Phi(0, \xi) = -\frac{Q}{\pi h_0 h} F(\xi, \rho, h)$$

$$F(\xi, \rho, h) = \sum_{i=1}^{\infty} \frac{\operatorname{ch} \frac{\mu_i}{\rho} (1 - \xi) \operatorname{sh} \mu_i \frac{h}{\rho}}{\mu_i^2 \operatorname{sh} \frac{\mu_i}{\rho} J_1^2(\mu_i)} \quad (2.2)$$

Согласно [5] условие устойчивости конуса при  $\Phi(R_0, z) = \Phi_0 = 0$  имеет вид

$$\Phi(0, \xi) = -\frac{k \Delta \gamma h_0}{\mu} (1 - \xi) \quad (2.3)$$

где  $\Delta \gamma$  — разность объемных весов вытесняемой и вытесняющей жидкостей.

Имея семейство кривых  $F(\xi, \rho, h)$ , легко найти графически предельный дебит, соответствующий точке касания  $\xi_0$  кривой  $F(\xi, \rho, h)$  и прямой (2.3) (фиг. 2). (Здесь построены кривые для  $\rho = 0.9$ ,  $h = 0.1$  и  $0.3$ . Для других  $\rho$  и  $h$  точка касания  $\xi_0$  находится аналогично.)

Тогда, решая совместно (2.2) и (2.3) при  $\xi = \xi_0$ , находим безразмерный дебит

$$q(h, \rho) = \frac{Q}{Q_0} = \frac{h}{2} \frac{(1 - \xi_0)}{F(\xi_0, \rho, h)}$$

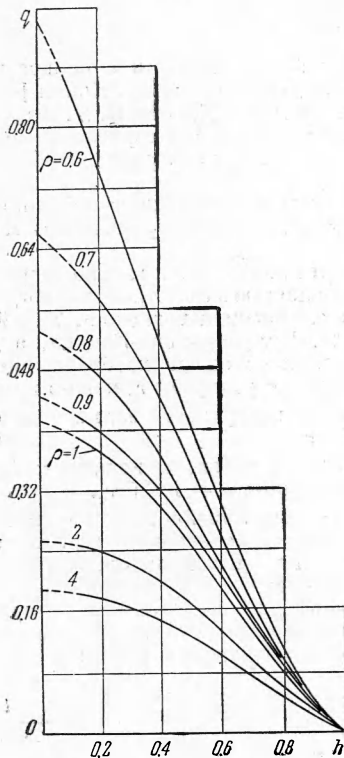
Здесь введено обозначение

$$Q_0 = \frac{2\pi k h_0}{\mu} \Delta \gamma h_0 \quad (2.4)$$

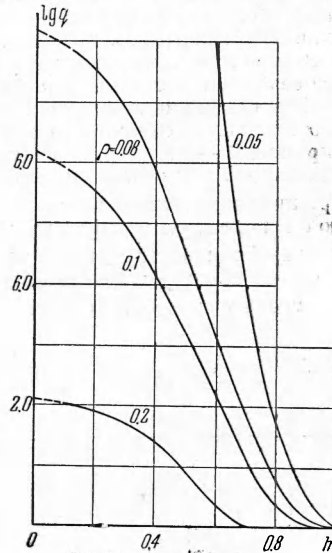
Количественный расчет предельных безводных безразмерных дебитов  $q = q(h, \rho)$  был выполнен по формулам (2.2) и (2.4) на быстродействующей электронной счетной машине. Для суммы ряда (2.2) выписывалась асимптотическая формула [6], по которой

делались оценки количества членов ряда из расчета, чтобы отношение остаточного члена ряда к его частичной сумме составляло не более 0.1% (фактически расчетная точность выше, так как удерживалось членов ряда больше заданного; так для некоторых  $\rho$  удерживалось 60 членов). Результаты расчетов для различных  $\rho$  сведены в табл. 1.

В табл. 2 приведены значения  $q = q(h)$  для  $\rho = 1$  и  $\rho = 4$ , рассчитанные по формуле (2.4) и по И. А. Чарному [5].



Фиг. 3 а



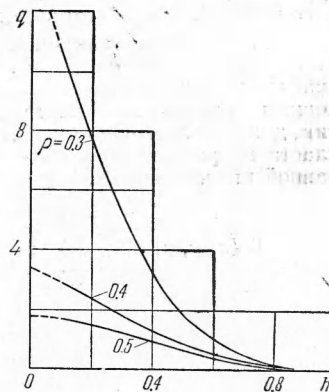
Фиг. 3 б

Как видно из таблицы, совпадение хорошее. По данным табл. 1 построены универсальные графики  $q = q(h)$  для различных  $\rho$ , представленные на фиг. 3, а, б, с.

Из табл. 1 и графиков  $q = q(h)$  видно, что с уменьшением  $\rho$  (т. е. при больших  $\kappa$ ), предельные дебиты увеличиваются и для  $\rho = 0.01$  достигают весьма большой величины (практически стремятся к бесконечности), а значения  $\xi_0$  стремятся к единице. Это говорит о том, что в сильно анизотропных пластах конусообразование проявляется очень слабо или совсем отсутствует.

Полученные безразмерные графики позволяют при известной характеристике анизотропии пласта  $\kappa$  определять предельные безводные дебиты  $Q$  нефти или газа (формула (2.4)).

Авторы признательны В. Томелькасу за произведенный счет на БЭСМ и И. А. Чарному за совместное обсуждение статьи.



Фиг. 3 с

Поступила 3 VII 1961

### ЛИТЕРАТУРА

1. Снеддон И. Преобразование Фурье. М., ИИЛ, 1955.
2. Иваненко Д. и Соколов А. Классическая теория поля. М., 1951.
3. Янке Е. и Эмде Ф. Таблицы функций. Физматгиз, 1959.
4. Траптер К. Дж. Интегральные преобразования в математической физике. М., Гостехиздат, 1956.
5. Чарный И. А. Основы подземной гидравлики. М., ГНТИ нефтяной и горно-топливной литературы, 1956.
6. Фихтенгольц Г. М. Основы математического анализа. Т. II, М., Гостехиздат, 1956.